

## О НЕКОТОРЫХ НЕУСТАНОВИВШИХСЯ ДВИЖЕНИЯХ СЖИМАЕМОЙ ЖИДКОСТИ

Л. И. Седов

(Москва)

В предлагаемой работе мы находим ряд точных решений уравнений для одномерного неустановившегося движения сжимаемой жидкости в случае плоских волн и движений с цилиндрической и сферической симметрией<sup>1</sup>. Решения определяются с помощью простых приемов, основанных на соображениях теории размерностей; эти приемы можно рассматривать как общий метод, который позволяет находить во многих вопросах физики семейства решений, зависящих от произвольных параметров. В конкретных примерах обычно легко указать постановки задач и гипотезы, приводящие к решениям получаемого типа. Этот общий метод применим как к линейным, так и к нелинейным уравнениям с частными производными в самых разнообразных вопросах физики и механики.

Широко известен метод Фурье, приложимый к некоторым линейным задачам. Частные решения, которые получаются с помощью рассматриваемого общего метода, так же как и частные решения, получаемые методом Фурье, иногда возможно использовать для построения общего решения уравнений движения и для решения краевых задач.

1. Рассмотрим одномерные неустановившиеся движения сжимаемой жидкости. В качестве независимых переменных возьмем время  $t$  и линейную координату  $r$ . За основные искомые величины возьмем скорость частиц жидкости  $v$ , плотность  $\rho$  и давление  $p$ . Размерности плотности и давления зависят от символа единицы массы, поэтому функции  $\rho(r, t)$  и  $p(r, t)$  обязательно содержат некоторые размерные физические постоянные. Эти постоянные могут входить в уравнения движения, которым удовлетворяют искомые функции, либо в добавочные условия, которыми определяется решение (характеристики области, занятой движущейся жидкостью, краевые условия, начальные условия и т. п.).

Рассмотрим случаи, когда искомые функции содержат размерные постоянные, среди которых имеется только одна или две постоянных с независимыми размерностями. Специальные движения такого рода могут представлять самостоятельный интерес или могут оказаться предельными движениями, если в пределе, среди задаваемых физических характеристик, существенны только одна или только две характеристики с независимыми размерностями.

<sup>1</sup> Краткое сообщение об этих решениях опубликовано в заметке автора [1].

Предположим сначала, что имеется только одна размерная постоянная, которую обозначим через  $a$ . Очевидно, что размерность постоянной  $a$  обязательно содержит символ массы, поэтому, не уменьшая общности, можно принять, что формула размерности для  $a$  имеет вид

$$[a] = ML^k T^s$$

где  $k$  и  $s$  — постоянные. Для величин  $v$ ,  $\rho$  и  $P$  можно написать формулы

$$v = \frac{r}{t} V, \quad \rho = \frac{aR}{r^{k+s} t^s}, \quad P = \frac{aP}{r^{k+1} t^{s+1}} \quad (1.1)$$

Очевидно, что отвлеченные величины  $V$ ,  $R$  и  $P$  не могут зависеть от  $r$  и  $t$  и, следовательно, могут быть только постоянными<sup>1</sup>. Следовательно, гипотеза о том, что существенна только одна постоянная  $a$ , дает возможность, не прибегая к уравнениям движения, полностью определить зависимость  $v$ ,  $\rho$  и  $P$  от  $r$  и  $t$ . Если уравнения движения не содержат физических постоянных или содержат постоянные с размерностями, выражающимися через размерность  $[a]$ , то эти уравнения должны иметь решения вида (1.1) при постоянных  $V$ ,  $R$  и  $P$ . Нетрудно видеть, что в этом случае, какой бы ни были постоянные  $k$  и  $s$ , движение, определяемое формулами (1.1), не содержит состояния, для которого плотность и давление отличны от нуля и одновременно постоянны во всей массе жидкости.

Если, кроме постоянной  $a$ , есть еще вторая постоянная  $b$ , то, не ограничивая общности, всегда можно принять, что размерность  $b$  не содержит символа массы и, следовательно, справедлива формула вида

$$[b] = L^m T^n$$

где  $m$  и  $n$  — постоянные; очевидно, что при  $n \neq 0$  существенно только отношение  $m/n$ .

Из определяющих величин  $r$ ,  $t$ ,  $a$ ,  $b$  можно образовать только одну независимую отвлеченную переменную комбинацию

$$\lambda = br^{-m} t^{-n}$$

Обращаясь к формуле (1.1), приходим к выводу, что отвлеченные величины  $V$ ,  $R$  и  $P$  могут быть функциями одного переменного параметра  $\lambda$ . Далее мы покажем, что можно строить решения рассматриваемого типа, в которых функции  $V$ ,  $R$  и  $P$  или их производные разрывны.

Гипотеза о том, что существенны только две постоянных с независимыми размерностями  $a$  и  $b$  позволяет установить общий вид распределения значений  $v_0$ ,  $\rho_0$  и  $P_0$  при  $t = 0$ . С помощью теории размерностей<sup>[2]</sup> находим

$$v_0 = \alpha_1 b^{-\frac{1}{n}} r^{\frac{m}{n} + 1}, \quad \rho_0 = \alpha_2 a b^{-\frac{s}{n}} r^{\frac{ms}{n} - k - 3}, \quad P_0 = \alpha_3 a b^{-\frac{s}{n} - \frac{2}{n}} r^{\frac{ms}{n} - k - 1 + \frac{2m}{n}} \quad (1.2)$$

где  $\alpha_1$ ,  $\alpha_2$ ,  $\alpha_3$  — отвлеченные количества, которые можно рассматривать как функции от  $r$ , имеющие постоянные значения при  $r \neq 0$  и  $r \neq \infty$  и имеющие в общем случае точки разрыва при  $r = 0$  и  $r = \infty$ . Величины  $\alpha_1$ ,  $\alpha_2$  и  $\alpha_3$ , в частности, могут равняться нулю или бесконечности.

<sup>1</sup> Об общих методах теории размерностей см., например, книгу автора [2].

Если при  $t=0$  давление и плотность постоянны, конечны и отличны от нуля, то должны иметь место соотношения

$$\frac{m}{n} = -1, \quad k + s = -3 \quad (1.3)$$

из которых следует, что величина начальной скорости одинакова для всех частиц жидкостей. Разрыв скорости может иметь место только при  $r=0$  или при  $r=\infty$ .

Отметим некоторые задачи, для которых решение может быть построено с помощью решений типа (1.1) при

$$k = -3, \quad s = 0, \quad \frac{m}{n} = -1 \quad (1.4)$$

*А. Классическая задача о «взрыве» вдоль плоскости.* Требуется определить адиабатные движения газа, если в начальный момент времени скорость, плотность и давление имеют разрыв вдоль плоскости  $x=r=0$ , причем справа при  $r > 0$  имеем заданные постоянные значения  $v_1, \rho_1, p_1$ , а слева при  $r < 0$  заданные постоянные значения  $v_2, \rho_2, p_2$ .

Как известно, уравнения движения совершенного идеального газа не содержат размерных постоянных, поэтому в этом случае движение зависит только от шести размерных постоянных  $v_1, \rho_1, p_1, v_2, \rho_2, p_2$ .

Среди этих постоянных имеется только две с независимыми размерностями. В качестве постоянных  $a$  и  $b$  можно взять

$$\begin{aligned} a &= \rho_1 & ([a] &= ML^{-3}, \quad k = -3, \quad s = 0) \\ b &= \frac{\gamma p_1}{\rho_1} & ([b] &= L^2 T^{-2}, \quad m = 2, \quad n = -2, \quad \frac{m}{n} = -1) \end{aligned} \quad (1.5)$$

Соотношения (1.4) выполняются. Решение поставленной задачи можно получить с помощью комбинирования решений типа (1.1). Следовательно, в этом случае можно сказать заранее, что формулы, дающие выражения для  $v, \rho$  и  $p$  через  $r$  и  $t$ , могут зависеть только от параметра  $bt^2/r^2 = \lambda$ . Формулы, выражающие  $v, \rho$  и  $p$  через  $r$  и  $t$ , могут менять свой вид при переходе через разрывы<sup>1</sup> (слабые, стационарные и сильные скачки).

*В. Задача о движении газа в длинной цилиндрической трубе, закрытой с одной стороны поршнем.* В начальный момент времени газ покоится, а поршень начинает двигаться внезапно с постоянной скоростью  $U$ . Обращая это движение, приходим к задаче о внезапном введении преграды перед поступательным однородным потоком газа.

В этой задаче движение определяется следующими размерными постоянными: начальной плотностью  $\rho_1$ , начальным давлением  $p_1$  и скоростью поршня  $U$ . Получаем опять случай, когда решение зависит только от двух постоянных с независимыми размерностями. Как известно, если  $U$  направлено в сторону газа, то решение этой задачи имеет весьма простой вид, — перед поршнем образуется область с постоянными давлением, плотностью

<sup>1</sup> Рассмотрение возможных случаев движения в этой задаче см. в работе Н. Е. Кошвина [3].

и скоростью частиц газа, равной  $U$ . Эта область отделена от покоящегося газа сильным разрывом, распространяющимся с постоянной скоростью.

*С. Задача о детонации газа в цилиндрической трубе* (детонация начинается либо в некотором плоском поперечном сечении трубы и распространяется в обе стороны в покоящейся среде, либо детонация начинается от конца трубы, закрытого неподвижным поршнем).

При детонации добавляется постоянная, определяющая выделяющуюся удельную теплоту химической реакции  $q_1 - q_2$ . Постоянная  $q_1 - q_2$  в механических единицах измерения имеет размерность квадрата скорости, зависимую от размерностей давления и плотности. Следовательно, в этом случае мы имеем только две размерных постоянных с независимыми размерностями, и решение можно строить из решений вида (1.1).

Эту задачу можно обобщать, допустив, что поршень в начальный момент времени начинает двигаться с постоянной скоростью  $U$ , или допустив, что вместо подвижного поршня у конца трубы создается постоянное давление, которое сохраняется с течением времени и отличается от давления в покоящемся газе.

Для плоских волн решение перечисленных задач элементарно. Мы рассмотрим обобщение указанных задач на случай цилиндрической и сферической симметрии.

Для конкретности дальше мы ограничимся подробным изучением соответствующих задач со сферической симметрией. Предварительно рассмотрим следующую задачу: в момент  $t = 0$  внутри сферы  $S_0$  радиуса  $r_0$  газ покоится и имеет заданную плотность  $\rho_2$  и давление  $p_2$ ; вне сферы  $S_0$  имеется тот же газ, в котором плотность, давление и скорость постоянны и равны  $\rho_1, p_1, v_1$ ; требуется определить возникающее движение газа.

Очевидно, что в этом случае решение зависит от шести размерных постоянных  $r_0, \rho_2, p_2, \rho_1, p_1, v_1$ , среди которых имеются три постоянных с независимыми размерностями. Так как радиус  $r_0$  в общем случае имеет существенное значение, то решение этой задачи не имеет вида (1.1). Если перейдем к пределу при  $r_0 \rightarrow 0$ , то в результате получим задачу с двумя независимыми размерными постоянными, которую можно решить с помощью решений вида (1.1).

Таким образом приходим к следующим задачам со сферической симметрией, для которых мы дадим способы решения.

1°. *Все частицы однородного газа имеют одинаковую скорость, направленную к центру  $O$ ,  $v_1 < 0$  (фокусирование в точке) либо от центра  $v_1 > 0$  (разлет от центра).*

В обоих случаях вблизи точки  $O$  образуется сферическая расширяющаяся область покоящейся жидкости, в первом случае с повышенным давлением, во втором с пониженным. Из дальнейшего будет видно, что существует критическая скорость  $v_1^* > 0$ . Если  $v_1 > v_1^*$ , то в центре  $O$  образуется пустота.

2°. *Обобщение задачи В о поршне.* При  $t = 0$  газ покоится, но частицы сферы  $S_0$  бесконечно малого радиуса с центром в точке  $O$  получают внешне постоянною скорость  $U$ , направленную по радиусам от точки  $O$ .

В дальнейшем при  $t > 0$  эти частицы продолжают двигаться с той же постоянной скоростью  $U$ . Жидкость как бы раздвигается сферой  $S_0$ , радиус которой растет от нуля пропорционально времени. С помощью теории размерности нетрудно усмотреть, что на поверхности сферы  $S_0$  давление должно быть постоянным.

Соответствующее давление определяется в функции скорости  $U$  и характеристик покоящегося газа. Следовательно, эта задача совпадает с задачей о раздвигании покоящейся массы жидкости заданным постоянным давлением, возникающим в точке  $O$ .

3°. *Задача о сферической детонации.* При  $t = 0$  в некоторой точке  $O$  в газе возникает детонация, которая затем распространяется в покоящемся газе. В этом случае около точки  $O$  образуется расширяющаяся сфера  $S_1$  с покоящимся газом. Плотность и давление внутри  $S_1$  постоянны и отличны от плотности и давления в покоящемся газе, через который еще не прошла детонационная волна<sup>1</sup>.

2. Для получения условий, которым должны удовлетворять величины, входящие в формулы (1.1), необходимо обратиться к уравнениям движения. Очевидно, что для справедливости принятых гипотез необходимо, чтобы уравнения движения не содержали существенных постоянных с размерностями, независимыми от размерностей  $a$  и  $b$ .

Для определенности задачи возьмем уравнения движения жидкости в следующей форме:

$$\frac{\partial v}{\partial t} + v \frac{\partial v}{\partial r} + \frac{1}{\rho} \frac{\partial p}{\partial r} = 0, \quad \frac{\partial \rho}{\partial t} + \frac{\partial \rho v}{\partial r} + (\nu - 1) \frac{\rho v}{r} = 0 \quad (2.1)$$

$$\frac{\partial}{\partial t} \frac{p}{\rho \gamma} + v \frac{\partial}{\partial r} \frac{p}{\rho \gamma} = 0 \quad (2.2)$$

где  $\gamma$  — некоторая отвлеченная постоянная. При  $\nu = 1$  имеем плоские волны, при  $\nu = 2$  — цилиндрические и при  $\nu = 3$  — сферические.

При  $\gamma = c_p / c_v$  уравнения (2.1) и (2.2) можно рассматривать как уравнения адиабатных движений газа, когда энтропия может быть различной у разных частиц газа. Уравнения (2.1) и (2.2) не содержат размерных постоянных, поэтому эти уравнения должны иметь решение в форме (1.1), когда имеется только одна постоянная  $a$ , а также в случае, когда имеются две существенных постоянных  $a$  и  $b$ .

Подставляя формулы (1.1) в уравнения (2.1) и (2.2), получим

$$\begin{aligned} \lambda \left[ (n + mV) V' + m \frac{P'}{R} \right] &= V^2 - V - (k + 1) \frac{P}{R} \\ \lambda \left[ mV' + (n + mV) \frac{R'}{R} \right] &= -s - (k - \nu + 3) V \\ \lambda (n + mV) \left[ \frac{P'}{P} - \gamma \frac{R'}{R} \right] &= -s(1 - \gamma) - 2 - [k(1 - \gamma) + 1 - 3\gamma] V \end{aligned} \quad (2.3)$$

<sup>1</sup> Задача о сферической детонации решена Зельдовичем [4]. Подобно тому, как в задаче  $C$  о детонации в цилиндрической трубе, задача о сферической детонации может быть осложнена путем добавления условий задачи 2°.

Если постоянная  $b$  отсутствует, то левые части уравнений (2.3) нужно заменить нулями, в результате получаются три простых конечных соотношения, связывающие  $V$ ,  $P$ ,  $R$ ,  $k$  и  $s$ ,

$$V = \frac{2}{2 + \nu(\gamma - 1)}, \quad P = \frac{2\nu(1 - \gamma)}{(k + 1)[2 + \nu(\gamma - 1)]^2} R, \quad s = \frac{2(\nu - k - 3)}{2 + \nu(\gamma - 1)} \quad (2.4)$$

В этом случае формулы (1.1) дают семейство точных решений уравнений (2.1) и (2.2), зависящее от двух произвольных постоянных  $k$  и  $aR$ . Заменяя  $t$  через  $t - t_0$ , получим решение, зависящее от трех постоянных.

При  $\nu = 1$  в формулах (1.1) координату  $r$  можно заменить через  $r - r_0$ , после чего получим решение, зависящее от четырех произвольных постоянных.

Для идеального газа энтропия выражается через комбинацию

$$\frac{p}{\rho^\gamma} = a^{1-\gamma} \frac{P}{R^\gamma} r^{k(\gamma-1) + 3\gamma-1} t^{s(\gamma-1)-2}$$

которая в общем случае различна для равных частиц жидкости. Если

$$k = -\frac{3\gamma-1}{\gamma-1}, \quad s = \frac{2}{\gamma-1}$$

то для полученного семейства решений, зависящего от одной постоянной энтропия одинакова для всех частиц жидкости.

При  $m \neq 0$  интегрирование системы уравнений (2.3) можно свести к интегрированию одного обыкновенного дифференциального уравнения первого порядка

$$\frac{dz}{dV} = \frac{z\{[2(V-1) + \nu(\gamma-1)V](V-q)^2 - (\gamma-1)V(V-1)(V-q) - [2(V-1) + \nu(\gamma-1)]z\}}{(V-q)[V(V-1)(V-q) + (x - \nu V)z]} \quad (2.5)$$

где приняты обозначения

$$z = \frac{\gamma P}{R}, \quad q = -\frac{n}{m}, \quad x = \frac{s + 2 + q(k+1)}{\gamma}$$

После интегрирования уравнения (2.5) зависимость  $V$ ,  $R$  от  $\lambda$  определится с помощью квадратур из соотношений

$$\frac{d \ln \lambda^\mu}{dV} = \frac{(V-q)^2 - z}{V(V-1)(V-q) + (x - \nu V)z} \quad (2.6)$$

$$(V-q) \frac{d \ln R}{d \ln \lambda^\mu} = \frac{V(V-1)(V-q) + (x - \nu V)z}{z - (V-q)^2} - [s + (k - \nu + 3)V] \quad \left(\mu = \frac{1}{m}\right) \quad (2.7)$$

В общем случае интегрирование уравнения (2.5) необходимо производить приближенно. При  $m = 0$ , т. е. при  $q = \infty$ , уравнение (2.5) легко интегрируется и получаем интеграл

$$\frac{\gamma P}{R} = z = \gamma A V^2 (V-1)^{\nu(\gamma-1)} \quad (2.8)$$

где  $A$  — постоянная интегрирования. Полагая  $n = 1$  (при этом  $\lambda = b/t$ , где  $b$  — характерное время), из уравнений (2.3) найдем

$$d \ln \lambda = \frac{dV}{V[V-1 - A(k+1)V(V-1)^{\nu(\gamma-1)}]} \quad (2.9)$$

$$d \ln R \lambda^s = - \frac{(k+3-\nu) dV}{V-1-A(k+1)V(V-1)^{\nu(\gamma-1)}} \quad (2.10)$$

В этом случае решение уравнений движения жидкости (2.1) и (2.2) можно представить в виде

$$\frac{\lambda}{\lambda_0} = \frac{t_0}{t} = \exp \int \frac{dV}{V [(V-1)-A(k+1)V(V-1)^{\nu(\gamma-1)}]} \quad (2.11)$$

$$\rho = \frac{aB}{r^{k+3}} \exp \left\{ -(k+3-\nu) \int \frac{dV}{(V-1)-A(k+1)V(V-1)^{\nu(\gamma-1)}} \right\} \quad (2.12)$$

$$p = \frac{r^2}{t^2} AV^2 (V-1)^{\nu(\gamma-1)} \rho, \quad v = \frac{r}{t} V$$

Эти формулы дают точное решение уравнений (2.1) и (2.2), зависящее от четырех произвольных независимых постоянных  $t_0$ ,  $A$ ,  $aB$  и  $k$ .

Для некоторых частных значений  $\gamma$  интегралы, входящие в эти формулы, могут быть вычислены в простом виде.

Если  $k = -1$ , то при любом  $\gamma$  интегралы легко вычисляются, после чего получаем следующее точное решение уравнений (2.1) и (2.2)

$$v = \frac{r}{t-t_0}, \quad \rho = \alpha \frac{(t-t_0)^{2-\nu}}{r^2}, \quad p = \beta \frac{1}{(t-t_0)^{\nu\gamma}} \quad (2.13)$$

где  $t_0$ ,  $\alpha$ ,  $\beta$  — произвольные постоянные. В движениях, описываемых формулами (2.13), давление зависит от времени, но постоянно во всей массе жидкости. Все частицы движутся равномерно и прямолинейно, но с различными скоростями. Для каждой частицы жидкости энтропия постоянна, но различна у разных частиц. При цилиндрической симметрии распределение плотности получается стационарным. Более общее решение получится, если в решении (2.13) постоянную  $\alpha$  заменить через  $F \left( \frac{r}{t-t_0} \right)$ , где  $F$  — произвольная функция.

Решение (2.13) совпадает по форме с решением, доставляемым формулами (1.1) при  $V$ ,  $R$  и  $P$  постоянных, определяемых формулами (2.4), но отличается от него тем, что зависит от двух размерных постоянных  $\alpha$  и  $\beta$ , которые в данном случае входят специальным образом.

При  $\nu = 1$  в формулах (2.13) координату  $r$  можно заменить через  $r - r_0$ , после чего получим решение, зависящее от четырех произвольных постоянных; это решение отличается от соответствующего решения, отвечающего формулам (2.4).

**3.** Решения в форме (2.1) можно искать с наличием поверхностей слабых или сильных разрывов. Эти характерные поверхности будут отвечать некоторым значением координаты  $r = r^*$ , зависящей от времени.

Динамические условия, связывающие значения  $v$ ,  $\rho_1$ ,  $p_1$ , и  $v_2$ ,  $\rho_2$ ,  $p_2$  на различных сторонах поверхностей сильных скачков, имеют вид:

условие постоянства массы

$$\rho_1 (v_1 - c) = \rho_2 (v_2 - c) \quad (3.1)$$

где  $c$  — скорость перемещения скачка;

условие о сохранении количества движения

$$\rho_2 (v_2 - c) (v_1 - v_2) = p_2 - p_1 \quad (3.2)$$

Уравнение энергии мы напишем в предположении, что газ совершенный

$$q_1 - q_2 + \frac{\gamma_1 p_1}{(\gamma_1 - 1) \rho_1} - \frac{\gamma_2 p_2}{(\gamma_2 - 1) \rho_2} + \frac{1}{2} [(v_1 - c)^2 - (v_2 - c)^2] = 0 \quad (3.3)$$

через  $q_1 - q_2$  обозначена энергия, отнесенная к единице массы, которая может выделяться за счет химических реакций, сопровождающих скачок. Величину  $q_1 - q_2$  необходимо вводить при рассмотрении явления детонации. Мы будем считать, что разность  $q_1 - q_2$  выражена в механических единицах измерения и поэтому размерность  $q_1 - q_2$  равняется квадрату скорости. Постоянная  $\gamma$  может быть разной на различных сторонах поверхности разрыва.

На скачках размерными определяющими параметрами будут  $t$ ,  $a$  и  $b$ ; из них нельзя образовать безразмерной комбинации, поэтому для решений (1.1) на скачках будут справедливы соотношения

$$\lambda = \lambda_0 = \text{const}, \quad r^* = \lambda_0^{-\frac{1}{m}} b^{\frac{1}{m}} t^{-\frac{n}{m}} \quad (3.4)$$

Так как  $c = dr^* / dt$ , то

$$c = -\frac{n}{m} \frac{r^*}{t} \quad (3.5)$$

Далее можно положить

$$q_1 - q_2 = q \left( \frac{r^*}{t} \right)^2 \quad (3.6)$$

где  $\lambda_0$  и  $q$  — отвлеченные постоянные.

Решения рассматриваемого вида могут существовать при выделении тепла за счет химических реакций, если это выделение может быть подчинено закону, отвечающему формуле (3.6).

Движение с наличием поверхностей разрыва невозможно, если имеется только одна существенная размерная постоянная  $a$ .

Как отмечено выше (1.3), если движение возникает из состояния покоя, в котором жидкость однородна, то  $m/n = -1$ . Следовательно, для движений рассматриваемого типа, начинающегося из состояния покоя, в котором  $\rho_0$  и  $p_0$  не равны нулю или бесконечности, получается, что скорость ударных волн постоянна и удельная теплота реакции  $q_1 - q_2$  также должна быть постоянной.

Подставляя формулы (1.1) в соотношения (3.1), (3.2) и (3.3) и вводя обозначения

$$\frac{v-c}{r^*/t} = u, \quad \frac{\gamma P}{R} = \frac{\gamma P}{\rho} \cdot \left( \frac{r^*}{t} \right)^2 = z \quad (3.7)$$

получим

$$\frac{R_1}{R_2} = \frac{u_2}{u_1} \quad (3.8)$$

$$\frac{z_1}{\gamma_1 u_1} + u_1 = \frac{z}{\gamma_2 u_2} + u_2 \quad (3.9)$$

$$q + \frac{z_1}{\gamma_1 - 1} + \frac{u_1^2}{2} = \frac{z_2}{\gamma_2 - 1} + \frac{u_2^2}{2} \quad (3.10)$$

Из уравнений (3.9) и (3.10) легко выразить  $z_2$  и  $u_2$  через  $z_1$ ,  $u_1$  и  $q$ . Для ударных волн без химических реакций ( $\gamma_1 = \gamma_2 = \gamma$  и  $q = 0$ ) два



решения уравнений (3.9) и (3.10) имеют простой вид

$$u_1 = u_2, \quad z_2 = z_1 \tag{3.11}$$

$$u_2 = u_1 \left[ 1 + \frac{2}{\gamma + 1} \frac{z_1 - u_1^2}{u_1^2} \right]$$

$$z_2 = \left( \frac{\gamma - 1}{\gamma + 1} \right)^2 \frac{1}{u_1^2} \left[ u_1^3 + \frac{2z_1}{\gamma - 1} \right] \left[ \frac{2\gamma}{\gamma - 1} u_1^2 - z_1 \right] \tag{3.12}$$

Так как уравнения (3.9) и (3.10) симметричны относительно  $z_1, V_1$  и  $z_2, V_2$ , то очевидно, что для получения выражений  $z_1, V_1$  через  $z_2, V_2$  достаточно в формулах (3.11) и (3.12)<sup>1</sup> индексы 1 и 2 переставить местами.

В дальнейшем мы примем, что индекс 1 соответствует той стороне скачка, на которую мы переходим при возрастании  $r$ .

Для общего анализа полезно еще соотношение

$$z_2 - u_2^2 = -(z_1 - u_1^2) \left( 1 + \frac{2}{\gamma + 1} \frac{z_1 - u_1^2}{u_1^2} \right) \tag{3.13}$$

Величина  $z$  по своему физическому смыслу существенно положительна. По теореме Цемплена должно выполняться неравенство  $V_1 - V_2 < 0$ , что дает

$$u_1 - u_2 = V_1 - V_2 < 0 \tag{3.14}$$

На полуплоскости  $-\infty < V < +\infty, r > 0$  (фиг. 1) отмечены области, преобразующиеся друг в друга с помощью соотношений (3.11) и (3.12)<sub>2</sub>.

Прямая  $z_1 = 0$  преобразуется в параболу  $z = 2\gamma(V + n/m)^2 / (\gamma - 1)$ . Точки параболы  $z = (V + n/m)^2$  переходят сами в себя.

Из теоремы Цемплена следует, что точки  $z_1, V_1$  должны быть расположены в областях, заштрихованных вертикально, а соответствующие значения  $z_2$  и  $V_2$  будут находиться в областях, заштрихованных горизонтально. Возможные переходы от  $z_1, V_1$  к  $z_2, V_2$ , указаны стрелками.

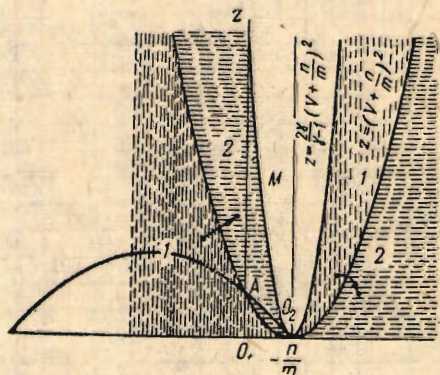
Точки типа  $M$ , расположенные выше параболы  $z = 2\gamma(V + n/m)^2 / (\gamma - 1)$ , не могут соответствовать границам скачков.

Рассмотрим теперь подробнее еще случай, когда состояние покоя есть частное решение в рассматриваемом семействе. В этом случае

$$-\frac{n}{m} = 1, \quad c = \frac{r^*}{t}; \quad z = \frac{u^2}{c^2}, \quad V - 1 = \frac{v - c}{c} \quad \left( a = \sqrt{\frac{\gamma p}{\rho}} \right)$$

где  $a$  — скорость звука.

Если  $z > (V - 1)^2$ , то скорость частиц жидкости относительно скачка меньше скорости звука, при  $z < (V - 1)^2$  — больше скорости звука. На параболе  $z = (V - 1)^2$  относительная скорость частиц равна скорости звука.



Фиг. 1

<sup>1</sup> В предыдущих рассуждениях формулы (2.1) используются для формулировки условий на скачке в безразмерной форме (4.8), (4.9), (4.10), поэтому указанные соотношения справедливы для любых движений газа с прямыми скачками. Для специальных движений рассматриваемого типа имеем  $u = V + n/m$ .

Если  $v=0$  при  $r \neq 0$  и  $t \neq \infty$ , то  $V=0$ ; отсюда следует, что состоянию покоя соответствуют точки оси  $z$ .

На прямой  $V=1$  имеем  $v=r/t$ . Это означает, что скорость частиц жидкости равна скорости перемещения состояний движения  $\lambda = \text{const}$ , отвечающих точкам этой прямой. Следовательно, если в потоке имеются стационарные разрывы, то они должны соответствовать точкам прямой  $V=1$ .

Пусть на стороне I мы имеем состояние покоя; это состояние может переходить в движение скачком только для точек оси  $z$ , расположенных на отрезке  $O_1A$ , для которого  $z_1 = a_1^2/c^2 \leq 1$ . Точки отрезка  $O_1A$  преобразуются скачком в точки дуги параболы  $AO_2$ , уравнение которой имеет вид

$$z_2 = (1 - V_2) \left( 1 + \frac{\gamma - 1}{2} V_2 \right) \quad (3.15)$$

Точке  $O_1 (z_1=0, V_1=0)$  соответствует точка  $O_2$ , для которой будет  $z_2 = 2\gamma(\gamma - 1)/(\gamma + 1)^2$ ,  $V_2 = 2/(\gamma + 1)$ . Если скорость звука в покоящейся среде конечна, то скачку из  $O_1$  в точку  $O_2$  соответствует предельный случай, когда скорость распростра-

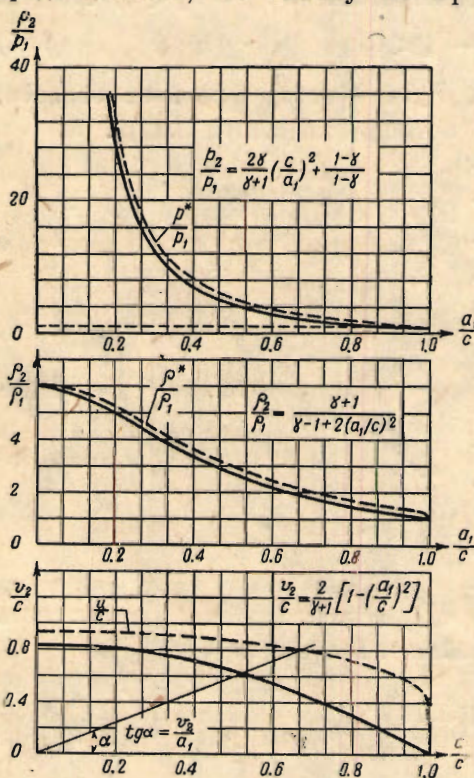
нения скачка равна бесконечности. Точке  $A (z=1, V=0)$  соответствует скорость распространения, равная скорости звука. При приближении точки  $z_1, V_1$  к точке  $A$  скачки скорости, плотности и давления стремятся к нулю. Точке  $A$  может соответствовать только слабый разрыв. Положением точки  $z_1$  на отрезке  $O_1A$  определяется скорость распространения скачка в покоящуюся жидкость.

В случае распространения прямого скачка уплотнения в покоящемся газе  $v_1=0$  (при  $q_1 - q_2 = 0$  и  $\gamma_1 = \gamma_2 = \gamma$ ) соотношения (3.1), (3.2) и (3.3) можно представить в виде

$$\frac{p_2}{p_1} = \frac{2\gamma}{\gamma + 1} \left( \frac{c}{a_1} \right)^2 + \frac{1 - \gamma}{1 + \gamma} \quad (3.16)$$

$$\frac{\rho_2}{\rho_1} = \frac{\gamma + 1}{\gamma - 1 + 2(a_1/c)^2} \quad (3.17)$$

$$\frac{v_2}{c} = \frac{2}{\gamma + 1} \left[ 1 - \left( \frac{a_1}{c} \right)^2 \right] \quad (3.18)$$



Фиг. 2

Эти формулы удобны для оценки элементов скачка через скорость распространения скачка или через скорость частиц газа за скачком  $v_2$ . Для большей наглядности соотношения, представляемые формулами (3.16), (3.17) и (3.18), изображены графически сплошными линиями на фиг. 2.

Если отношение  $v_2/a_1$  задано, то для определения отношения  $a_1/c$  достаточно на нижнем графике провести через начало координат прямую с

угловым коэффициентом, равным  $v_2/a_1$ . Пересечение этой прямой с параболой (3.18) определит отношение  $a_1/c$ .

Рассмотрим теперь еще случай, когда  $q_1 - q_2 \neq 0$  и  $\gamma_1 \neq \gamma_2$ , а ударная волна распространяется в покоящейся среде  $V_1 = 0$  или  $u_1 = -1$ .

Уравнения (3.9) и (3.10) в этом случае принимают вид

$$z_2 + \gamma_2 \left( \frac{a_1^2}{\gamma_1 c^2} \right) u_2 + \gamma_2 u_2^2 = 0 \quad (3.19)$$

$$\frac{z_2}{\gamma_2 - 1} + \frac{u_2^2}{z} = \frac{1}{2} + \frac{1}{\gamma_1 - 1} \frac{a_1^2}{c^2} + \frac{q_1 - q_2}{c^2} \quad (3.20)$$

При постоянных  $a_1^2$ ,  $q_1 - q_2$  и  $c^2$  в плоскости  $z, u$  эти уравнения представляются параболой, расположенными так, как это указано на фиг. 3, если

$$(\gamma_2 - 1) \frac{q_1 - q_2}{a_1^2} \geq \frac{\gamma_1 - \gamma_2}{\gamma_1 (\gamma_1 - 1)} \quad (3.21)$$

Знак равенства соответствует случаю, когда параболы пересекаются в точке  $D$ . Если неравенство (3.21) не удовлетворяется, то система (3.19) и (3.20) имеет два решения, для одного из них  $V_2 < 0$ , а для другого  $1 > V_2 > 0$ .

Для существования двух действительных различных решений уравнений (3.19) и (3.20) постоянные  $a_1, c$  и  $q_1 - q_2$  должны удовлетворять соотношению

$$\left( 1 + \frac{1}{\gamma_1 c^2} \right)^2 > 2 \frac{\gamma_2^2 - 1}{\gamma_2^2} \left[ \frac{1}{2} + \frac{1}{\gamma_1 - 1} \frac{a_1^2}{c^2} + \frac{q_1 - q_2}{c^2} \right] \quad (3.22)$$

Корни уравнений (3.19) и (3.20) сливаются, когда в соотношении (3.22) знак неравенства заменяется знаком равенства; в этом случае приходим к уравнению

$$\left( \frac{c}{a_1} \right)^4 - 2 (\gamma_2^2 - 1) \left[ \frac{q_1 - q_2}{a_1^2} - \frac{\gamma_1 - \gamma_2^2}{\gamma_1 (\gamma_1 - 1) (\gamma_2^2 - 1)} \right] \left( \frac{c}{a_1} \right)^2 + \frac{\gamma_2^2}{\gamma_2^2} = 0 \quad (3.23)$$

причем теперь для корней уравнений (3.19) и (3.20) получаются выражения

$$u_2' = u_2'' = - \frac{\gamma_2}{\gamma_2 + 1} \left( 1 + \frac{a_1^2}{\gamma_1 c^2} \right), \quad z_2' = z_2'' = \frac{\gamma_2^2}{(\gamma_2 + 1)^2} \left( 1 + \frac{a_1^2}{\gamma_1 c^2} \right)^2 \quad (3.24)$$

Очевидно, что соответствующее решение определяет точку, расположенную на параболе

$$z_2 = (V_2 - 1)^2 \quad (3.25)$$

Если имеет место неравенство (3.22), то получаются два решения, для которых соответствующие точки  $M$  и  $N$  (фиг. 3) расположены по различным сторонам параболы (3.25).

Нетрудно убедиться, что если отношение  $(q_1 - q_2)/a_1^2$  задано так, что неравенство (3.18) удовлетворяется, то при различных  $c^2/a_1^2$  соответствующие точки  $M$  и  $N$  расположатся на некоторой кривой третьего порядка, причем в точках параболы (3.25) удовлетворяется уравнение (3.23), а величина  $c^2/a_1^2$  достигает extremum. Наибольший корень уравнения (3.23) соответствует минимуму, а наименьший максимуму отношения  $c^2/a_1^2$ .

Если в соотношении (3.21) имеет место знак равенства, то уравнение (3.23) получает вид

$$\left(\frac{c_0^2}{a_1^2} - \frac{\gamma_2}{\gamma_1}\right)^2 = 0 \quad (3.26)$$

Очевидно, что в этом случае скорость  $c_0$  равняется скорости звука в газе с показателем адиабаты  $\gamma_2$ . Из формул (3.24) для соответствующих значений  $V_2$  и  $z_2$  находим  $V_2 = 0$ ,  $z_2 = 1$ .

Если в соотношении (3.21) имеет место знак неравенства, то уравнения (4.23) имеют два корня  $c_1$  и  $c_2$ , удовлетворяющие неравенству  $c_1 < c_0 < c_2$ .

Все рассуждения этого параграфа применимы к движениям с плоскими волнами и к движениям с цилиндрической и сферической симметрией.

4. Рассмотрим теперь вопрос об определении всех решений, когда  $m = 2$ ,  $n = -2$ ,  $s = 0$ ,  $k = -3$  и  $\nu = 3$ . Положим

$$a = p_1, \quad b = \frac{\gamma p_1}{\rho_1} = a_1^2, \quad \lambda = a_1^2 \frac{t^2}{r^2}$$

где  $p_1$  и  $\rho_1$  — некоторые выбранные значения давления и плотности.

Уравнения (2.5) и (2.6) в рассматриваемом случае принимают вид

$$\frac{dz}{dV} = 2 \frac{z}{V} \frac{z - (V-1)(\gamma V - 1)}{3z - (V-1)^2} \quad (4.1)$$

$$\frac{1}{2} \frac{d \ln \lambda}{dV} = \frac{z - (V-1)^2}{V [3z - (V-1)^2]} \quad (4.2)$$

Кроме того, при  $V \neq 1$  последнее из уравнений (2.3) интегрируется, в результате чего получаем следующую связь между  $P$ ,  $R$  и  $\lambda$ :

$$P = \frac{R^\gamma \lambda}{\gamma \beta^{\gamma-1}} \quad (4.3)$$

где  $\beta$  — постоянная интегрирования.

Пользуясь соотношением (4.3) и обозначением  $\gamma P/R = z$ , формулы (1.1) представим в виде

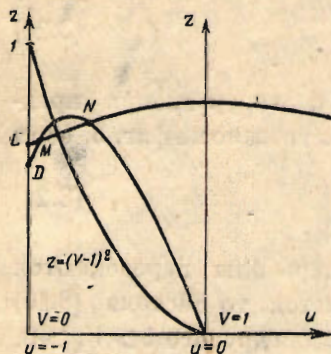
$$v = a_1 \frac{V}{\sqrt{\lambda}}, \quad \rho = \rho_1 \beta \left(\frac{z}{\lambda}\right)^{\frac{1}{\gamma-1}}, \quad p = p_1 \beta \left(\frac{z}{\lambda}\right)^{\frac{\gamma}{\gamma-1}} \quad (4.4)$$

В областях непрерывного движения величина  $p/\rho^\gamma$  у различных частиц жидкости будет одинакова, так как

$$\frac{p}{\rho_1^\gamma} = \frac{p_1}{\rho_1^\gamma} \frac{1}{\beta^{\gamma-1}} \quad (4.5)$$

Очевидно, что отвлеченная постоянная  $\beta$  тесно связана с значением энтропии. Если в некоторой точке области непрерывного движения давление и плотность имеют значения  $p_1$  и  $\rho_1$ , то очевидно, что в этой области  $\beta = 1$ .

Решение, выраженное формулами (4.4), зависит от четырех произволь-



Фиг. 3

ных постоянных. Две из них — это  $\rho_1 \beta$  и  $p_1 \beta$ , две другие войдут при интегрировании дифференциальных уравнений (4.1) и (4.2).

Основная трудность заключается в интегрировании уравнения (4.1). После интегрирования уравнения (4.1) параметр  $\lambda$  определяется в функции от  $V$  из уравнения (4.2) с помощью простой квадратуры.

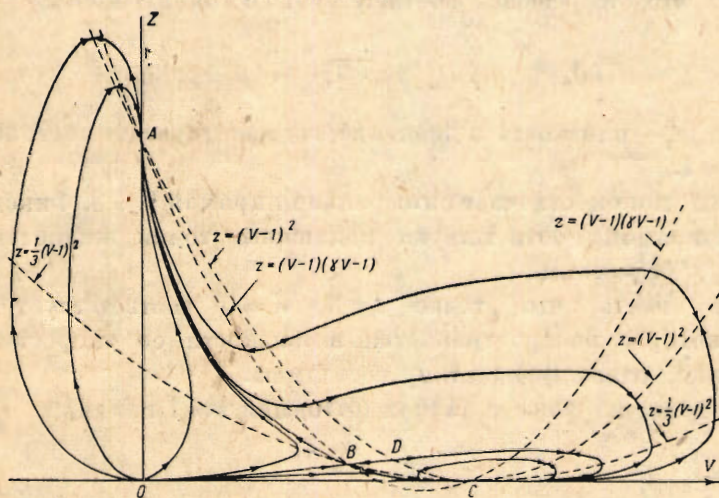
Рассмотрим поведение интегральных кривых уравнения (4.1) в плоскости  $zV$ . Это уравнение имеем пять особых точек

$$O(0, 0), \quad A(1, 0), \quad B(z^*, V^*), \quad C(0, 1), \quad D(\infty, \pm \infty)$$

причем

$$z^* = \frac{3(\gamma-1)^2}{(3\gamma-1)^2}, \quad V^* = \frac{2}{3\gamma-1}$$

Точки  $O, A, C$  являются узлами, точки  $B$  и  $D$  — седлами. Общий вид интегральных кривых в полуплоскости  $z > 0$  показан на фиг. 4.



Фиг. 4

В точках параболы  $z = (V-1)(\gamma V-1)$  интегральные кривые имеют касательные, параллельные оси  $V$ ; в точках параболы  $z = \frac{1}{3}(V-1)^2$  — касательные, параллельные оси  $z$ .

Вблизи точки  $O$  решения уравнений (4.1) и (4.2) имеют вид

$$z = k_1 V^2 + \dots, \quad V = \frac{\sqrt{\lambda}}{k_2} + \dots \quad (4.6)$$

где  $k_1 > 0$  и  $k_2 \geq 0$  — произвольные постоянные. Точке  $O$  соответствует  $\lambda = a_1^2 t^2 / r^2 = 0$ , следовательно, в пространстве движения жидкости точке  $O$  соответствует бесконечно удаленная точка  $r = \infty$ .

В бесконечности для скорости, плотности и давления получаются значения  $v_0, \rho_0$  и  $p_0$ , определяемые формулами

$$v_0 = \frac{a_1}{k_2} \left( k_2 = \frac{a_1}{v_0} \right), \quad \rho_0 = \rho_1 \beta \left( \frac{k_1}{k_2^2} \right)^{\frac{1}{\gamma-1}}, \quad p_0 = p_1 \beta \left( \frac{k_1}{k_2^2} \right)^{\frac{\gamma}{\gamma-1}} \quad (4.7)$$

Если  $\rho_0 = \rho_1, p_0 = p_1$ , то  $\beta = 1, k_1 = k_2^2$ .

В плоскости  $z, V$ , вблизи точки  $O$ , интегральные кривые имеют вид парабол. С увеличением величины скорости в бесконечности соответствующим

щие параболы приближаются к оси  $V$ . Если  $v_0 > 0$ , то приближению из бесконечности к центру симметрии соответствует перемещение вверх по правой ветви параболы, если  $v_0 < 0$  — перемещение вверх по левой ветви параболы.

Уравнения (4.1) и (4.2) имеют точное решение:

$$z = 0, \quad V = \frac{\sqrt{\lambda}}{k_2} \quad (4.8)$$

Этому решению соответствуют состояния движения, в которых либо  $p = 0$ , либо  $p = \infty$ .

Кроме того, уравнения (4.1) и (4.2) имеют решение

$$V = 0, \quad z = k_3 \lambda \quad (4.9)$$

Очевидно, что это решение соответствует состоянию покоя

$$v = 0, \quad \rho = \rho_1 \beta k_3^{\frac{1}{\gamma-1}}, \quad p = p_1 \beta k_3^{\frac{\gamma}{\gamma-1}} \quad (4.10)$$

Если  $\rho_1$  и  $p_1$  — плотность и давление, соответствующие состоянию покоя, то  $\beta = 1$ ,  $k_3 = 1$ .

Состоянию покоя отвечает интегральная прямая  $V = 0$ . Фиксированным точкам этой прямой соответствуют подвижные точки жидкости, для которых  $\lambda = a_1^2 t^2 / r^2 = \text{const}$ .

Нетрудно видеть, что точке  $z = 1$ ,  $V = 0$  соответствует состояние движения, которое распространяется в жидкости со скоростью, равной скорости звука, отвечающей этому состоянию.

В самом деле, из формул (4.9) и (4.10) при  $z = 1$  получим

$$\frac{r^2}{t^2} = a_1^2 k_3 = \frac{\gamma p}{\rho}$$

При  $z < 1$  скорость распространения соответствующих состояний в покоящейся жидкости больше скорости звука, при  $z > 1$  меньше скорости звука.

Рассмотрим поведение интегральных кривых вблизи точки  $A$ , для которой  $z = 1$ ,  $V = 0$ . Вблизи этой точки уравнение первого приближения для уравнения (4.1) имеет вид

$$\frac{dz}{dV} = \frac{z-1+(1+\gamma)V}{V} \quad (4.11)$$

Общий интеграл уравнения (4.11) представляется формулой

$$z-1 = CV + (1+\gamma)V \ln V \quad (4.12)$$

где  $C$  — постоянная интегрирования.

Очевидно, что в точке  $A$  имеется узел, интегральные кривые сходятся к точке  $A$ , касаясь оси  $z$ .

Нетрудно видеть, что при движении вдоль интегральной кривой точка  $A$  достигается при конечном значении параметра  $\lambda$ , так как в точке  $A$  имеем

$$\frac{dV}{d\lambda} = 0, \quad \frac{1}{\lambda} \frac{d\lambda}{dz} = 1 \quad (4.13)$$

Точка  $A$  может соответствовать слабому разрыву. Состояние покоя, даваемое прямой  $V=0$ , может переходить непрерывно в движение, определяемое другими интегральными кривыми, сходящимися в точку  $A$ .

Особая точка  $B$  представляет собой седло. Через точку  $B$  проходят две интегральных кривых с угловыми коэффициентами

$$\frac{dz}{dV} = \frac{\gamma-1}{2(3\gamma-4)} [\gamma-3 \pm \sqrt{(\gamma-3)^2 + 4(\gamma-1)(3\gamma+1)}] \quad (4.14)$$

При движении к точке  $B$  по интегральным кривым, соответствующим знаку плюс, параметр  $\lambda$  стремится к  $+\infty$ , при движении к точке  $B$  по интегральным кривым, соответствующим знаку минус, параметр  $\lambda$  стремится к нулю.

Точке  $B$  отвечает особое решение

$$v = \frac{2}{3\gamma-4} \frac{r}{t}, \quad \rho = \rho_1 \beta z^{*\frac{1}{\gamma-1}} \left( \frac{r}{a_1 t} \right)^{\frac{2}{\gamma-1}}, \quad p = p_1 \beta z^{*\frac{\gamma}{\gamma-1}} \left( \frac{r}{a_1 t} \right)^{\frac{2\gamma}{\gamma-1}} \quad (4.15)$$

Решение (4.15) является частным случаем общего решения, зависящего от одной размерной постоянной, рассмотренного нами в п. 1 и 2. Формулы (1.1) и (2.4) приводятся к формулам (4.15) при

$$k = \frac{3\gamma-4}{4-\gamma}, \quad s = \frac{2}{\gamma-1} \quad (4.16)$$

В решении (4.15) при  $t=0$ ,  $r \neq 0$  имеем  $v = \infty$ ,  $\rho = \infty$ ,  $p = \infty$ ; при  $t > 0$  бесконечные значения сохраняются только при  $r = \infty$ ; при  $r=0$  имеем  $v=0$ ,  $\rho=0$ ,  $p=0$ .

Рассмотрим, наконец, особую точку  $C$ . Вблизи точки  $V=1$ ,  $z=0$  при достаточно малых  $z > \frac{1}{3}(V-1)^2$  продолжение интегральных кривых вправо и влево приводят к пересечению с параболой  $z = \frac{1}{3}(V-1)^2$ . В точках этой параболы имеем  $(dz/dV) = \infty$ ; при дальнейшем продолжении интегральные кривые стремятся к точке  $C$ , оставаясь ниже параболы  $z = \frac{1}{3}(V-1)^2$ . Следовательно, точка  $C$  является узлом.

Нетрудно показать, что для всех  $\gamma > 1$  имеет место неравенство

$$\lim_{V \rightarrow 1} \frac{z}{(V-1)^2} < \frac{1}{3} \quad (4.17)$$

Отсюда следует, что производная  $d \ln \lambda / dV$  при  $V=1$  имеет конечное значение. Следовательно, при движении по интегральной кривой приходим в точку  $C$  с конечным значением параметра  $\lambda$ . Точка  $C$  может соответствовать стационарному разрыву или границе, перемещающейся вместе с частицами жидкости.

В точке  $C$  имеем  $z = \gamma P / R = 0$ , отсюда и из (4.3) следует, что для всех решений, отличных от  $z=0$ , при приближении к точке  $C$  давление и плотность стремятся к нулю.

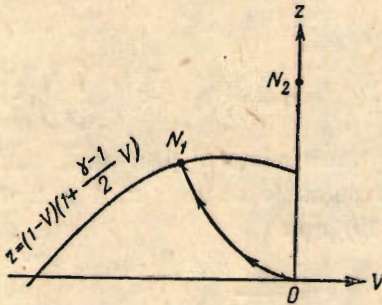
Уменьшению  $r$  соответствует движение по интегральной кривой в сторону возрастания параметра  $\lambda$ . При  $0 \leq r < \infty$  имеем  $\infty \leq \lambda < \infty$ .

С помощью уравнения (4.2) легко указать направления возрастания параметра  $\lambda$  вдоль интегральных кривых. На фиг. 4 эти направления указаны стрелками.

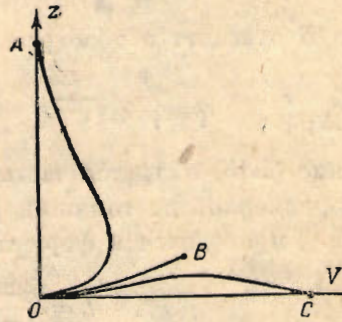
На параболе  $z = (V - 1)^2$  параметр  $\lambda$  достигает максимума при  $V < 0$  и  $V > 1$  и минимума при  $0 < V < 1$ .

Очевидно, что непрерывный переход по интегральной кривой через точки этой параболы, исключая точки  $A$  и  $C$ , физически недопустим, так как это приводит к неоднозначности.

В центре симметрии потока  $r = 0$  и  $\lambda = \infty$ . В плоскости  $zV$  движение жидкости продолжается до центра  $r = 0$  вдоль интегральной прямой  $V = 0$ ,  $z \rightarrow +\infty$ , отвечающей состоянию покоя; вдоль прямой  $z = 0$ ,  $V \rightarrow \pm\infty$ , для которой либо плотность бесконечна, либо давление равно нулю; для особого решения (4.15), т. е. для точки  $B$ , и, наконец, для движения, отвечающего интегральным кривым  $OB$  и  $DB$ , упирающимся в особое решение для точки  $B$ .



Фиг. 5



Фиг. 6

В бесконечно удаленной точке потока имеем  $r = \infty$ ,  $\lambda = 0$ . В плоскости  $z_1V$  бесконечно удаленной точке потока могут соответствовать только особые точки  $O$  и  $B$ . В бесконечности для точки  $B$  скорость получается бесконечной. Для решений, исходящих из точки  $O$ , скорость жидкости в бесконечности может иметь любое значение.

5. Опираясь на данный выше общий анализ: условий на скачках и поведении интегральных кривых уравнений (4.1) и (4.2) в плоскости  $z_1V$ , нетрудно построить решения задач, отмеченных в п. 1 (стр. 292).

Задача 1°. Вид интегральной кривой при  $v_1 < 0$  представлен на схеме фиг. 5. Начальные данные для интегральной кривой определяются значениями  $v_1 = v_0$ ,  $\rho_1 = \rho_0$  и  $p_1 = p_0$  с помощью формул (4.7) и (4.8)

В точке  $N_1$  пересечения параболы  $z = (1 - V) [1 + (\gamma - 1)V/2]$  с интегральной кривой возникает сильный скачок, за которым жидкость находится в покое (точка  $N_2$ ). Скорость распространения скачка  $C$ , равная скорости роста радиуса сферического ядра с остановленным газом, определяется значением параметра  $\lambda^* = \gamma p_1 / (\rho_1 c^2)$ , отвечающего точкам  $N_1$  и  $N_2$ .

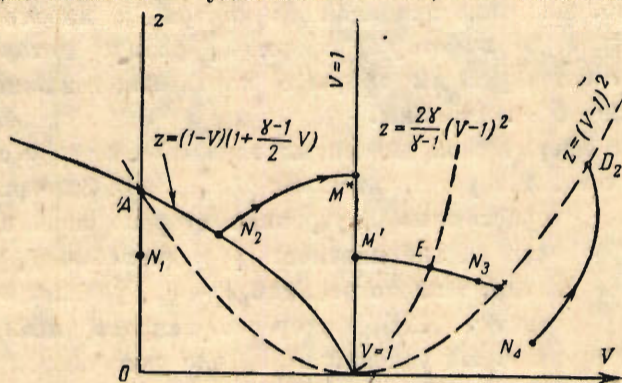
Если  $v_1 > 0$ , то соответствующие интегральные кривые представлены на фиг. 6. При достаточно малых  $v_1$  получаются интегральные кривые типа  $OA$ , причем движение оказывается непрерывным для всех  $r$ . Вблизи центра симметрии образуется сферическое ядро покоящегося газа, переходящего слабым разрывом в движение, слабому разрыву соответствует точка  $A$ . При некоторой начальной скорости  $v_1 = v_1^*$  в плоскости  $z_1V$  получается интегральная кривая  $OB$ . Центру симметрии соответствует точка  $B$ : в этом случае скорость газа будет равна нулю только в одной точке — в центре симметрии. Если  $v_1 > v_1^*$ , то интегральные кривые стремятся к точке  $C$



в которой параметр  $\lambda$  имеет некоторое конечное, отличное от нуля постоянное значение  $\lambda^*$ , а давление и плотность обращаются в нуль. Следовательно, при начальных скоростях  $v_1 > v_1^*$  в газе образуется пустота, расширяющаяся с постоянной скоростью, определяемой значением  $\lambda^*$ .

2°. Обозначим через  $U$  скорость сферического поршня, равную скорости частиц газа на сфере  $S_0$ ; давление внутри этой сферы постоянно и равно  $p^*$ .

Плотность и давление в покоящейся жидкости обозначим через  $\rho_1$  и  $p_1$ . В плоскости  $zV$  граничной сферы  $S_0$  соответствует некоторая точка прямой  $V=1$ . Интегральные кривые, исходящие из точек прямой  $V=1$ , пересекают параболу  $z=(V-1)^2$ . Поэтому продолжение движения до точки  $O$ , соответствующей бесконечно удаленной точке, возможно только скачком.



Фиг. 7

По предположению движение жидкости возникает из состояния покоя, поэтому на внешней стороне скачка должно быть  $V_1=0$ ,  $z_1 \neq 0$ , т. е. соответствующая точка лежит на оси  $z$ . Отсюда следует, что точка  $N_2(z_2, V_2)$  определяется пересечением интегральной кривой (фиг. 7) с параболой

$$z=(1-V)\left(1+\frac{\gamma-1}{2}V\right)$$

На прямой  $V=1$  сфере  $S_0$  соответствует точка  $M^*$  и значение

$$\lambda^* = \frac{\gamma p_1}{\rho_1 U^2} > \lambda_1 = \frac{\gamma p_1}{\rho_1 c^2}$$

так что  $c > U$ .

При  $c^2 \rightarrow a_1^2$ , значения  $z^*$  и  $\lambda^*$  стремятся к бесконечности, а скорость  $U$  стремится к нулю.

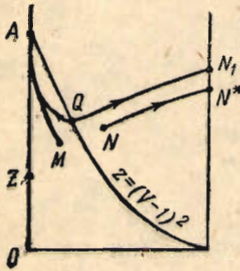
В результате произведенных нами численных расчетов мы определили зависимость отношений  $U/c$ ,  $\rho^*/\rho_1$ ,  $p^*/p_1$  от величины  $a_1/c$ . На фиг. 2 эти зависимости представлены в виде пунктирных кривых; сравнение пунктирных кривых с сплошными кривыми дает увеличение рассматриваемых отношений при переходе от скачка к поршню (сфере  $S_0$ ).

Рассмотренное движение можно продолжить внутрь сферы  $S_0$ , при продолжении сфера  $S_0$  может оказаться поверхностью стационарного разрыва (разрывна только плотность, скорость и давление непрерывны). На прямой  $V=1$ , интегральная кривая  $z=z(V)$  может иметь точку разрыва. Величина разрыва (положение точек  $M^*$  и  $M'$ ) определяется отношением плотностей на различных сторонах сферы  $S_0$ , которое можно задать произвольно

Из условия об однозначности следует, что из точки  $M'$  интегральную кривую можно продолжать вправо (фиг. 7) только до точки  $D_1$  пересечения с параболой  $z = (V-1)^2$ . После пересечения интегральной кривой с параболой  $z = 2\gamma(V-1)^2 / (\gamma-1)$  в точке  $E$  дальнейшее продолжение движения можно осуществить скачком из некоторой точки  $N_3$  отрезка  $ED$  в соответствующую точку  $N_4$ . От точки  $N_4$  интегральная кривая продолжаема при выполнении условий об однозначности только до пересечения с параболой  $z = (V-1)^2$  в точке  $D_2$ . По теореме Цемплена других скачков произойти уже не может. Точкам  $N_1, N_2; M^*M'; N_3, N_4$  и  $D_2$  соответствуют скорости распространения  $c, U, c'$  и  $U'$ . Очевидна справедливость неравенств  $c > U > c' > U'$ .

Следовательно, движение продолжаемо внутрь  $S_0$ , но это продолжение осуществимо только до некоторой сферы  $S$ , радиус которой растет по закону  $r = U't$ . На поверхности сферы  $S$  плотность, давление и скорости жидкости (большие  $U'$ ) постоянны.

3°. На фронте сферической детонации имеем  $\lambda = a_1^2 / c^2 = \text{const}$ . Внешней стороне скачка соответствует точка  $z_1 = a_1^2 / c^2, V = 0$ . Значение всех характеристик на внутренней стороне скачка определится, если задана плотность  $\rho_1$  и давление  $p_1$  в покоящейся смеси, теплота реакции  $q_1 - q_2$ , удовлетворяющая неравенству (3.21), и скорость распространения ударной волны  $c$ . Из условий на скачке получаются два решения, соответствующие точкам  $M$  и  $N$  (фиг. 3).



Фиг. 8

Продолжение движения от точки  $M$  осуществляется интегральной кривой  $MA$  (фиг. 8). Точка  $A$  соответствует границе расширяющегося ядра, в котором покоится газ, — продукт химической реакции, сопровождающей детонацию.

Продолжение движения от точки  $N$  осуществляется интегральной кривой  $NM^*$ . Очевидно, что это движение нельзя продолжить до центра симметрии. Движения такого рода можно возбудить с помощью дополнительного сферического поршня, который мы рассматривали в задаче 2°.

Скорость распространения детонации при заданной величине  $q_1 - q_2$  минимальна, когда точка  $M$  и  $N$  сливаются в одну точку  $Q$ , расположенную на параболе  $z = (V-1)^2$ . В этом критическом случае движение можно продолжать либо вправо к точке  $N_1^*$ , либо влево к точке  $A$ . В первом случае давления во внутренней области и на поршне получаются большими, чем на скачке, во втором случае за скачком возникает волна разрежения, в которой давления уменьшаются от точки  $Q$  до точки  $A$ .

Различными авторами уделено много внимания вопросу об определении скорости детонации<sup>1</sup>. Можно отметить, что все гидродинамические условия удовлетворяются, если скачок происходит в точку  $M$  и продолжение движения производится вдоль интегральной кривой  $MA$ .

Опытные данные показывают, что имеет место режим детонации, соответствующий минимальной скорости, отвечающей точке  $Q$  (фиг. 8),

<sup>1</sup> См., например, Зельдович, [2] Гриб [3].

с последующим изменением характеристик вдоль интегральной кривой  $QA$ . Для обоснования этого факта Зельдович привлекал некоторые соображения, связанные с химическим механизмом реакции в фронте ударной волны.

Очевидно, что в любой момент времени каждое движение рассматриваемого типа механически подобно любому состоянию и, в частности, состоянию для момента времени, сколь угодно близкому к начальному моменту возникновения детонации в центре симметрии. Это обстоятельство может служить поводом к обоснованию выбора скорости детонации через данные о способе возбуждения в центре симметрии. Если детонация возбуждается в центре внешним давлением, то скачку должна соответствовать точка типа  $N$ . С другой стороны, требование о равенстве нулю скорости продуктов реакции в центре симметрии приводит к решениям, в которых скачку соответствует точка типа  $M$ . Одновременное выполнение этих двух условий может удовлетвориться только для точек типа  $Q$  и интегральной кривой типа  $QA$ . Эти соображения можно рассматривать как некоторое обоснование того, что на практике должны получаться режимы скачков, соответствующих точкам типа  $Q$ .

Поступила в редакцию  
28 IV 1945

#### L. I. SEDOV.—UNSTEADY MOTIONS OF COMPRESSIBLE FLUIDS

Employing the theory of dimensionality, the author finds a number of exact solutions of the equations of one dimensional unsteady motion of a compressible fluid in the case of plane waves and motions with cylindrical and spherical symmetry. He arrives at solutions, depending upon constants, among which but two ( $a, b$ ) or only one ( $b$ ) have independent dimension. Here formulae (1.1) in which  $V, R$  and  $P$  depend upon only one variable  $\lambda$ , hold for the velocity, density and pressure. The corresponding motions may have strong and weak ruptures; the formula (1.2) holds for  $t=0$ .

These solutions make it possible to construct the solutions for the problem of «explosions» over a plane, the problem of detonation, the problem of a gas under constant pressure, the problem of motion of a gas away from and towards a centre. The work gives a complete solution of the above-mentioned problems in cases of spherical symmetry ( $n^\circ 4$  and  $6$ ).

For the general case, the solution is reduced to the integration of a differential equation of the first order (5.5). In particular cases, the author obtains the solutions in finite forms, containing an arbitrary constant (2.1), (2.12), (2.13).

#### ЛИТЕРАТУРА

1. Седов Л. И. Доклады Академии Наук. Новая серия. Т. XLVII. № 2. 1945.
2. Седов Л. И. Методы теории размерностей и теории подобия в механике. Гостехиздат. 1944.
3. K o s h i n N. Rendiconti del circolo matematico di Palermo. 1925. Novembre T. L.
4. Зельдович. Теория горения и детонации газов. Изд. АН СССР, 1944.
5. Г р и б. Прикладная математика и механика. 1948. Т. VIII. Вып. 4.